

УДК 543.857

ФИЗИЧЕСКАЯ ХИМИЯ

С. Д. РАЗУМОВСКИЙ, А. А. КЕФЕЛИ, Г. Р. ТРУБНИКОВ, Г. Е. ЗАИКОВ  
**КИНЕТИКА РЕАКЦИИ НАСЫЩЕННЫХ УГЛЕВОДОРОДОВ  
 С ОЗОНОМ**

(Представлено академиком Н. М. Эмануэлем 15 I 1970)

Реакция озона с насыщенными углеводородами изучалась преимущественно в газовой фазе на низших членах парафинового ряда — метане<sup>(1, 2)</sup>, пропане, бутане и изобутане<sup>(2)</sup>. Для этих углеводородов были найдены константы скорости, энергии активации и предэкспоненциальные множители, исходя из представления о бимолекулярном характере первого акта реакции. Значения предэкспоненциальных множителей были значительно меньше, чем это наблюдается обычно для реакций такого типа. Взаимодействие озона с алкилароматическими углеводородами было исследовано на дифенилметане и этилбензоле<sup>(3)</sup>. Кинетика реакции озона с высшими углеводородами парафинового ряда, особенно в жидкой фазе, ранее не изучалась. Исследование этого вопроса представляет значительный интерес, поскольку озон часто используют как инициатор процессов жидкофазного окисления<sup>(4)</sup> или как окисляющий агент в различных синтезах<sup>(5)</sup>. Ниже приведены результаты исследования кинетики реакции озона с некоторыми углеводородами в жидкой фазе.

Навеска углеводорода или его раствора 3—130 г помещалась в реактор барботажного типа с пористым дном (для лучшего распределения газового потока). Через слой углеводорода (15—20 см) продувалась струя кислорода, содержащего озон ( $1 \cdot 10^{-5}$ — $2,5 \cdot 10^{-3}$  мол/л) со скоростью (1,5—4 см<sup>3</sup>/сек). Озон вначале растворялся, а затем реагировал с углеводородом. Реакция в газовой фазе (в пузырях) заметной роли не играла. Это подтверждается тем, что результаты опытов при разных температурах согласуются с обычными кинетическими законами ( $\lg k = A \frac{1}{T}$  и т. д.), а не с изменением упругости пара углеводорода и тем, что при проведении опытов в растворе константа скорости реакции сохраняла свое значение постоянным в широком интервале концентрации каждого компонента, а изменение соотношения высота: диаметр или увеличение объема реагирующего углеводорода не влияло на численные значения констант. В большинстве случаев для получения сравнимых результатов, кинетика реакции изучалась в растворе в  $CCl_4$ , который инертен по отношению к озону, мало поглощает при 254 мк и хорошо растворяет углеводороды. О скорости реакции судили по разности концентрации озона в газовой фазе на входе и выходе из системы. Концентрацию озона измеряли спектрофотометрически по поглощению у.-ф. света при 254 мк. Ошибка определе-

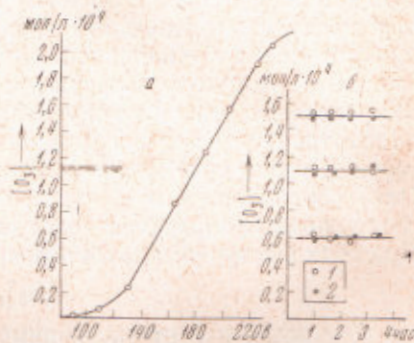


Рис. 1. Зависимость концентрации озона в газовом потоке от напряжения на входе (а) и продолжительности работы (б). 22°, кислород 4 см<sup>3</sup>/сек. 1, 2 — данные двух опытов с интервалом в 3 месяца

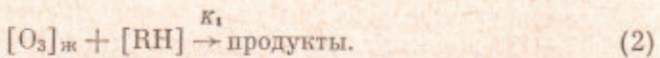
ния составляла  $\pm 3\%$ . Вследствие того, что озон составлял 7—0,03 об.%, в расчетах принималось, что объем газовой смеси в процессе реакции не изменялся.

Озон генерировался в электрическом разряде при 4—9 кв. Для его синтеза была сконструирована малогабаритная переносная установка ( $250 \times 100 \times 150$  мм, вес  $\sim 2$  кг), состоявшая из разрядного устройства, в котором между двумя коаксиальными металлическими электродами цилиндрической формы  $150 \times 21 \times 0,2$  и  $150 \times 15 \times 0,2$  был введен стеклянный диэлектрик  $190 \times 19 \times 1,0$ , и повышающего трансформатора. При тщательно выполненной изоляции электрические потери были сведены к минимуму и потребляемая озонатором мощность находилась в пределах 5—10 вт. Это позволило использовать повышающий трансформатор небольшой мощности, что привело к резкому уменьшению габаритов и веса всей установки. Трансформатор имел первичную обмотку из 1100 витков проволоки ПЭФ-2 0,25 мм, вторичную — 35000 витков ПЭФ-2 0,08 мм и сердечник из железа III —  $25 \times 40$  с окном  $24 \times 60$  мм. Изменение концентрации озона в газовой смеси осуществлялось изменением напряжения на первичной обмотке трансформатора. Описанная установка обладала стабильными и воспроизводимыми характеристиками и не требовала водяного охлаждения. На рис. 1 приведены зависимости концентрации озона от напряжения на входе в озонатор (a) и времени его работы (б).

В работе <sup>(3)</sup> было показано, что реакция озона с насыщенными углеводородами приводит к образованию перокси-радикалов, которые в результате последующих реакций превращаются в различные кислородсодержащие соединения — перекиси, спирты, кетоны, кислоты и т. д. Поскольку конечные продукты образуются в результате ряда превращений, лучше всего исследовать кинетику первичной реакции  $RH + O_3$  по изменению концентрации исходных компонентов. Высокая реакционная способность озона и различные фазовые состояния углеводорода (жидкость) и озона (газ) обусловили выбор струевой методики. Поток газовой смеси озон + кислород пропускался через слой углеводорода или его раствора в  $CCl_4$ . При этом быстро устанавливалось равновесие



где  $\alpha$  — коэффициент растворимости. Растворенный озон реагировал с углеводородом:



При условии, что скорость растворения не является лимитирующей стадией, в каждый момент времени должно выполняться равенство

$$K_1 = W([O_3]_0 - [O_3]_{\text{газ}}) / \alpha [RH] [O_3]_{\text{газ}} \text{ л/моль·сек}, \quad (3)$$

где  $W$  — удельная скорость подачи газовой смеси,  $\text{сек}^{-1}$ ,  $[O_3]_0$  и  $[O_3]_{\text{газ}}$  — концентрации озона на входе и выходе из реактора. Числитель уравнения выражает количество прореагировавшего озона в единицу времени, знаменатель — произведение концентраций реагирующих компонентов. Скорость растворения озона на несколько порядков выше, чем скорость химической реакции. Это следует из того, что при введении в систему веществ, быстро реагирующих с озоном, например дифениламина и др., имеющих  $K_1 \approx 10^5 - 10^7$  л/моль·сек, скорость реакции целиком определяется природой реагирующих соединений, а значения  $K_1$  постоянны во всем интервале превращения от 0 до 100% <sup>(4)</sup>.

Из уравнений (1) и (2) следует, что

$$[O_3]_{\text{газ}} = [O_3]_0 / \left( 1 + \frac{K_1}{W} \alpha [RH] \right). \quad (4)$$

На рис. 2 приведены зависимости  $[O_3]_{\text{газ}}$  от  $[O_3]_0$  и  $[RH]$ , которые хорошо согласуются с уравнением (4).

Следовательно, кинетика реакции описывается бимолекулярным законом, который справедлив для реакций озона с многими соединениями: аминами<sup>(4)</sup>, бензолом<sup>(6)</sup>, олефинами<sup>(7)</sup> в растворах и углеводородами С<sub>1</sub>—С<sub>4</sub> в газовой фазе<sup>(2)</sup>. В табл. 1 приведены результаты определения  $K_1$  для разных углеводородов. Из данных этой таблицы вытекает, что константа скорости реакции при 20° возрастает в ряду декан < тетрадекан < <циклогексан < дифенилметан < этилбензол < изопропилбензол. Сравнение результатов, полученных в растворе ССl<sub>4</sub> и чистом углеводороде, показывает, что ( $K_1$ )<sub>CCl<sub>4</sub></sub> в 3—4 раза больше ( $K_1$ ) углеводород, причем отме-

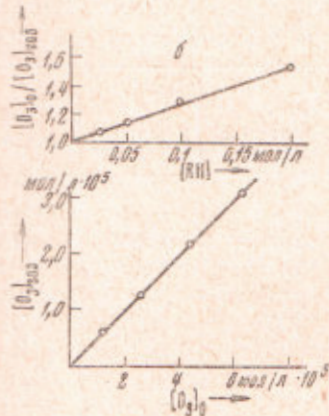


Рис. 2

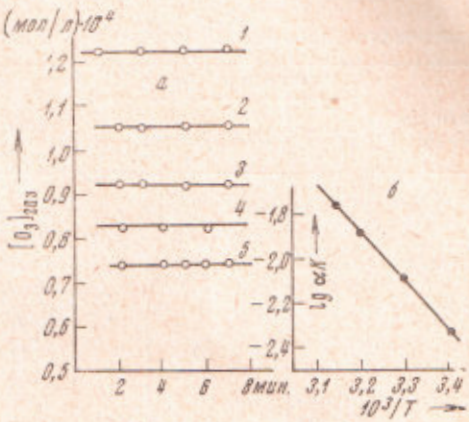


Рис. 3

Рис. 2. Зависимости концентрации озона на выходе из реактора  $[O_3]_{\text{газ}}$  от концентрации его на входе  $[O_3]_0$  (a) и отношения  $[O_3]_0 / [O_3]_{\text{газ}} = f([RH])$  (b). Этилбензол в ССl<sub>4</sub> — 7 мл, 20° С,  $V_{\text{газа}} = 1,7 \text{ см}^3/\text{сек}$ . Сплошная линия — расчет; точки — данные опыта

Рис. 3. Зависимость концентрации  $[O_3]_{\text{газ}}$  от температуры. Тетрадекан 20 мл,  $V_{\text{газа}} = 4 \text{ см}^3/\text{сек}$ . 1 —  $[O_3]_0$ ; 2 — при 20°; 3 — 30°; 4 — 37°; 5 — 44° С

чается плавное возрастание  $K_1$  с уменьшением концентрации углеводорода (табл. 1, этилбензол).

Зависимость скорости реакции от температуры при окислении тетрадекана представлена на рис. 3. В связи с тем, что степень превращения тетрадекана невелика, наблюдается относительное постоянство поглощения озона в течение опыта (рис. 3а). Температурная зависимость хорошо описывается уравнением Аррениуса (рис. 3б), энергия активации реакции  $E_{\text{набл}}$ , найденная по наклону прямой в координатах  $\lg K_1 — 1/T$ , равна  $11,2 \pm 0,5 \text{ ккал/моль}$ . Истинная энергия активации  $E_{\text{ист}}$  больше наблюдаемой на величину теплоты растворения  $\lambda$ :  $E_{\text{набл}} = E_{\text{ист}} - \lambda$ . По нашим измерениям  $\lambda = 1,8 \pm 0,2 \text{ ккал/моль}$ <sup>(9)</sup>, это позволило определить  $E_{\text{ист}}$  и  $A$  для изученных углеводородов (см. табл. 1). В отличие от приведенных<sup>(2)</sup> для газовой фазы, найденные значения  $A$  для *n*-парафиновых углеводородов имеют вполне разумную величину  $\sim 10^8$ .

Обращает на себя внимание резкое уменьшение  $E_{\text{ист}}$  и предэкспоненциального множителя при переходе от *n*-парафинов к алкилароматическим соединениям. Уменьшение  $E_{\text{ист}}$ , по-видимому, следует связать с уменьшением прочности C—H-связи ( $D_{R-H}$ ) эмпирическим уравнением:

$$E_{\text{ист}} = 0,3D_{R-H} - 13.$$

Это уравнение аналогично уравнению Поляни — Семенова<sup>(10)</sup>, связывающему  $E$  с тепловым эффектом реакции  $Q$ , и легко может быть трансфор-

миривано в него, если найти тепловой эффект опытным путем или по сумме теплот разрывающихся и образующихся связей:

$$E = 33 - 0,3Q.$$

Разница в предэкспоненциальных множителях, по-видимому, лучше всего может быть объяснена чисто стерическими причинами — в то время, как в молекуле *n*-парафина имеется большое число С—Н-связей, эквивалентных по своей реакционной способности, этилбензол и его аналоги обладают

Таблица 1

Кинетические параметры реакции озона с различными углеводородами при 20° С

Углеводород	Концентрация, мол/л		$\alpha$ (*)	$K_1$ , л/моль·сек	$E_{\text{ист}}$ , $\pm 0,5$ ккал/моль	$A$ , л/моль·сек	$D_{R-\text{H}}$ , ккал/моль
	[RH]	[O <sub>3</sub> ] <sub>0</sub>					
Тетрадекан	0,8	8,0·10 <sup>-5</sup>	1,7	1,6·10 <sup>-2</sup>	13,0	5·10 <sup>7</sup>	85,6
Декан	1,12	8,0·10 <sup>-5</sup>	1,7	0,6·10 <sup>-2</sup>	13,6	5·10 <sup>7</sup>	86,1
Циклогексан	0,214	8·10 <sup>-5</sup>	1,7	1,7·10 <sup>-2</sup>	13,6	1·10 <sup>8</sup>	—
	9,25	7,3·10 <sup>-5</sup> **	1,3	0,6·10 <sup>-1</sup>	—	—	—
Этилбензол	8,3	8,3·10 <sup>-5</sup> **	1,5	0,25	8,6	6·10 <sup>5</sup>	—
	1,17	6·10 <sup>-5</sup>	1,7	0,38	8,8	1·10 <sup>6</sup>	73,4
	0,934	6·10 <sup>-5</sup>	1,7	0,41	—	—	—
	0,70	6·10 <sup>-5</sup>	1,7	0,43	—	—	—
	0,468	6·10 <sup>-5</sup>	1,7	0,54	—	—	—
	0,234	6·10 <sup>-5</sup>	1,7	0,60	—	—	—
	0,10	6·10 <sup>-6</sup>	1,7	0,67	—	—	—
	0,05	6·10 <sup>-6</sup>	1,7	0,67	—	—	—
	0,1	2,5·10 <sup>-3</sup>	1,7	0,67	—	—	—
	0,1	1,0·10 <sup>-3</sup>	1,7	0,67	—	—	—
Изопропилбензол	1,0	6·10 <sup>-5</sup>	1,7	0,6	8,3	1·10 <sup>6</sup>	69,4
Дифенилметан	0,53	7,3·10 <sup>-5</sup>	1,7	0,4	9,6	4·10 <sup>5</sup>	—

\* Дана наименьшая величина  $\bar{D}_{R-\text{H}}$  (1).

\*\* Растворитель отсутствует, во всех других случаях константа скорости вычислялась в растворе CCl<sub>4</sub>.

ют ограниченным числом реакционных центров (ослабленные С—Н-связи), и поэтому существенное значение должна приобретать вероятность соответствующей ориентации в момент встречи реагирующих частиц.

Институт химической физики  
Академии наук СССР  
Москва

Поступило  
6 I 1970

#### ЦИТИРОВАННАЯ ЛИТЕРАТУРА

- <sup>1</sup> Н. А. Клейменов, А. Б. Налбандян, ДАН, **122**, 103 (1958). <sup>2</sup> С. С. Schubert, R. N. Pease, J. Am. Chem. Soc., **78**, 2044 (1956). <sup>3</sup> В. Я. Шляпинтох, А. А. Кефели и др., ДАН, **183**, 1106 (1968). <sup>4</sup> С. Д. Разумовский, А. А. Бучченко и др., ДАН, **183**, 1106 (1968). <sup>5</sup> F. L. Lixma, H. Boeg, J. P. Wibaut, Rec. trav. chim. Pays-Bas, **70**, 1005 (1951). <sup>6</sup> D. G. Williamson, R. I. Chetanovic, J. Am. Chem. Soc., **90**, 3668 (1968); С. Д. Разумовский, Изв. АН СССР, сер. хим., 1970, № 2.